

## بررسی تأثیر پارامتر زمان آسیاب کاری بر ریزساختار نهایی پودر $TiB_2-TiC$ نانوکریستالی تولیدی به روش سنتز احتراقی تحت ماکروویو

بهزاد امینی کیا<sup>۱\*</sup> و صادق فیروزی<sup>۲</sup>

### چکیده

در این پژوهش پودر  $TiB_2-TiC$  نانوکریستالی از راه روش جدیدی با عنوان سنتز احتراقی ماکروویو یا همان MACS (Microwave-Assisted Combustion Synthesis) تولید شد. ابتدا مخلوط پودری  $3Ti + 4B + C$  به کمک آسیاب سیارهای تا ۹ ساعت آسیاب شد. از پودرهای آسیاب شده جهت انجام واکنش MACS قرص‌هایی با قطر  $10\text{ mm}$  تهییه و از یک دستگاه ماکروویو خانگی با توان  $1100\text{ W}$  سنتز استفاده شد. نتایج ناشی از آنالیزهای XRD و SEM نشان داد که با افزایش زمان آسیاکاری مخلوط اولیه تا ۹ ساعت، سنتز فازهای  $TiC$  و  $TiB_2$  با موفقیت بیشتری همراه شد و میزان فراورده‌های جانبی و ترکیبات میانی در محصول نهایی به کمترین مقدار خود رسید. این امر از راه تصاویر حاصل از میکروسکوپ الکترونی عبوری نیز تأیید شد. هم‌چنین، با افزایش زمان آسیاکاری مخلوط پودری از ۱ ساعت به ۹ ساعت، مدت زمان لازم جهت سنتز نمونه از ۳ دقیقه به زیر ۳۵ ثانیه کاهش یافت.

**واژه‌های کلیدی:** نانوکامپوزیت، کاربید تیتانیوم، آسیاب سیارهای، کاربید بور، سنتز احتراقی تحت ماکروویو.

۱- کارشناس ارشد مهندسی سرامیک پژوهشگاه مواد و انرژی کرج، پژوهشکده نیمه‌هادی‌ها

۲- استادیار دانشکده مهندسی معدن و متالورژی دانشگاه صنعتی امیرکبیر تهران

\*- نویسنده مسئول مقاله: behzad\_aminkia@yahoo.com

## پیشگفتار

### اعمال کرد [۸]

در این پژوهش، پودر خام مورد استفاده، پیش از انجام فرآیند سنتز به کمک آسیاب سیاره ای مورد فعال سازی مکانیکی قرار داده شد، تا از این راه پودر خام اولیه به نوعی پیش فعال شود. سپس از راه روش سنتز احتراقی تحت ماکروویو یا همان MACS (Microwave-) (Assisted Combustion Synthesis) ساختار نانوکامپوزیتی  $TiB_2-TiC$  تولید شد.

در این پژوهش همچنین، تلاش شده است تا نقش پارامتر زمان آسیاب کاری در سنتز بهینه نانوکریستالی تولیدی به روش MACS، به کمک تحلیل فازی و ریزساختاری فراورده های، بررسی و مقدار بهینه آن تعیین شود.

### روش پژوهش

در این پژوهش از پودر تیتانیوم با خلوص ۹۸٪ محصول شرکت MERCK (Art.No:1.12379) با اندازه ذرات زیر ۱۵۰ میکرون و نیز کاربید بور محصول شرکت Aldrich (Art.No:378100) با اندازه ذرات ۳۷ میکرون (۲۰۰ Mesh) و خلوص ۹۹٪، استفاده شد.

در مرحله نخست، مواد اولیه مورد عملیات پیش فعال سازی مکانیکی قرار داده شد. فعال سازی مکانیکی، یعنی بکارگیری آسیاهای گلوله ای پرانرژی برای تهیه آلیاژ های آمورف، فاز های نانوبلور، آلیاژ عناصر مخلوط نشدنی و ترکیب محلول های جامد آبراشباع. از مهم ترین ویژگی های این روش، تولید پودرهایی با اندازه نانو یا پودرهایی با بلور کهای نانو است [۹].

مخلوط های واکنشی با استفاده از یک دستگاه آسیاب گلوله ای سیاره ای، مورد عملیات آسیاب مکانیکی قرار گرفتند. بدین منظور مواد اولیه پس از توزین برابر محاسبات استوکیومتری، درون کاپ های آسیاب ریخته شده و پس از دمش گاز آر گون، شیرهای خروجی و سپس ورودی بسته شد.

از نسبت جرمی گلوله به پودر ۱۵ (BPR:15:1) استفاده شد. با این حال، فقط حدود ۲۵٪ از حجم کاپ به وسیله مواد و گلوله اشغال شد. تدبیر بالا از این بابت گرفته شد تا گلوله های آسیاب (که وظیفه خردایش مواد اولیه را

امروزه کامپوزیت های زمینه سرامیکی<sup>۱</sup> (CMCs) به دلیل بهبود قابل توجه مقاومت در برابر شکست به نسبت سرامیک های تک ترکیب (Monolithic) توجه زیادی را به خود جلب کرده اند. کاربیدها و بور آیده های فلزات انتقالی می توانند به عنوان یک نمونه از این سامانه های سرامیکی مطرح شوند [۱]. از ویژگی های بارز این سامانه ها می توان به خواص مکانیکی، مقاومت خوب در برابر اکسیداسیون و خواص حرارتی و الکتریکی عالی اشاره کرد [۲]. با در نظر داشتن این نکته که تیتانیم دی برآید ( $TiB_2$ ) و کاربید تیتانیم ( $TiC$ ) دارای ویژگی هایی چون نقطه ذوب بالا، سختی بالا، مقاومت در برابر شوک حرارتی خوب و ثبات حرارتی بالا هستند [۳]، بنابراین می توان انتظار داشت کامپوزیت این ترکیبات افزون بر دارا بودن این خواص، ویژگی های مکانیکی قابل توجهی را نیز به همراه داشته باشد. از جمله کاربید های این کامپوزیت عبارت است از: قطعات سازه ای در جاهایی که خواص حرارتی، مکانیکی، مقاومت به اکسیداسیون مهم است نظیر: موتورهای جت، سپرهای حرارتی سفینه های فضایی و مبدل کننده های حرارتی، به عنوان قطعات مقاوم به سایش مثل قالب های شکل دهی و ابزار برش [۴]. فرآیند سنتز احتراقی یا همان<sup>۲</sup> SHS از زمانی که از نظر فناوری توسعه یافت و نخستین بار به وسیله Goldschmidt و با کشف واکنش ترمیت، به عنوان یک روش با راندمان و قابلیت حفظ انرژی بالا، جهت تولید مواد دیرگذار معرفی شد، در صنعت کاربرد فراوان دارد [۵]. روش بالا با قابلیت های بی بدیل خود توانایی سنتز همزمان دو ترکیب  $TiC$  و  $TiB_2$  را با هم دارد؛ به گونه ای که افزون بر صرفه جویی در زمان و انرژی، محصول نهایی همگن تر و ریز دانه تری نسبت به روش متالورژی بدست می آید [۶].

اصولاً انجام فرآیند سنتز احتراقی به کمک انرژی و منبع ماکروویو، روشی نوین در تأمین انرژی اولیه فرآیند SHS بشمار می آید [۷]. انرژی ماکروویو نوعی سامانه گرمایش سریع و یکنواخت را فراهم می کند که از راه آن می توان انتقال انرژی را به صورت سه بعدی روی نمونه

<sup>1</sup> - Ceramic Matrix Composite

<sup>2</sup> - Self propagating High temperature Synthesis

ضعیف مربوط به این ترکیب) در الگوی پراش مخلوط‌های ۳، ۶ و ۹ ساعت آسیا شده دیده می‌شود، ولی این مقدار بسیار ناچیز و جزیی است و پیک مربوط به آن نیز بسیار ضعیف و کم ارتفاع می‌باشد. لذا، بر اساس این شکل ترکیب فازی پودر آسیاب شده با پودر آسیاب نشده تفاوت چندانی نکرده و حین آسیاب، سنتری صورت نگرفته و تنها شدت و پهن شدگی پیک‌ها تغییر یافته است که آن هم ناشی از خردایش دانه‌ها و تشکیل فاز‌های میانی است. این پدیده با محاسبه اندازه بلورک‌ها از راه رابطه شر مرور تأیید قرار گرفت [۱۰].

شکل ۲ الگوهای پراش پرتو X (XRD) پودرهایی را که تا ۹ ساعت آسیاب شده و سپس در دستگاه ماکروویو، سنتز احتراقی شده‌اند را نشان می‌دهد. نکته قابل توجهی که در این شکل (شکل ۲) می‌توان مشاهده کرد این است که در تمامی نمونه‌های سنتز شده (با زمان‌های گوناگون آسیاکاری)، فرآیند MACS توانسته است که در سنتز فراورده‌های اصلی واکنش (TiC و TiB<sub>2</sub>)، به خوبی موفق باشد.

همان‌گونه که در طیف بالا قابل مشاهده است، در تمامی نمونه‌های بالا، بدون استثناء پیک‌های اصلی مربوط به دو فاز TiB<sub>2</sub> و هیچ‌گونه فاز میانی یا حتی ماده اولیه مصرف نشده‌ای دیده نمی‌شود و همگی اینها دال بر توانایی بالای روش ماکروویو یا همان MACS در سنتز کامپوزیت‌هایی از این نوع می‌باشد [۷].

نکته دیگری که در این طیف می‌توان بدان اشاره کرد، تأثیر مثبت افزایش زمان آسیاب بر روند موفقیت فازهای اصلی است [۱۱]. به گونه‌ای که با افزایش زمان آسیاب از ۱ به ۹ ساعت، به تدریج طیف XRD مربوط به نمونه‌های سنتز شده نشان از افزایش کیفیت فازهای محصول دارد [۱۲] (پیک‌های مربوط به فازهای اصلی ازوضوح و کیفیت بیشتری برخوردار می‌شوند و پیک‌های ریز و بسیار ضعیفی که مربوط به فازهای میانی است، رفتہ رفتہ از طیف زدوده می‌شوند [۱۰]).

به بیان بهتر، عملیات پیش فعال سازی مکانیکی (آسیاب) با افزایش انرژی پودرهای، باعث انجام واکنش احتراقی باشد بسیار بالایی شده و این امر تأمین آنتالپی تشکیل فراورده‌های واکنش را به شکل ایده‌آل تری فراهم

دارند، فضای لازم را جهت تحرک داشته و بتوانند در هرچه ریزتر نمودن مخلوط پودری موثرتر واقع شوند. گلوله‌ها و کاپ‌ها از جنس فولاد زنگ نزن ساختکاری شده و در ابعاد ۱۰، ۱۵ و ۲۰ میلی متر (برای بالا بردن بازده آسیاب) انتخاب شدند. سرعت آسیاب ۲۵۰ دور بر دقیقه انتخاب و فرآیند آسیاکاری برای زمان‌های ۱، ۳، ۶ و ۹ ساعت طراحی گردید.

مقدار ۲٪ وزنی اسید استئاریک به عنوان عامل کنترل کننده فرآیند<sup>۱</sup> (PCA)، نیز به مخلوط بالا افزوده شد. بخش دیگری از پودر اولیه نیز در داخل یک بشر و در یک محیط متابولیک به کمک هیتر مگنت با هم مخلوط شد (این امر صرفاً جهت اختلاط یکنواخت مخلوط مواد اولیه با هم صورت گرفت تا نماینده زمان ۰ h آسیاب باشد).

برای اطمینان از اکسید نشدن مواد، کاپ‌ها پس از یک ساعت از پایان زمان آسیاب، درون محفظه با اتمسفر خنثی باز و نمونه برداری شد. پودر بدست آمده از مرحله آسیاب جهت ساخت قطعه، به کمک قالبی استوانه‌ای شکل به قطر ۱۰ mm و با استفاده از فشار تک محوره ۳۰۰ MPa پرس شد. در این پژوهش از یک اجاق ماکروویو<sup>۲</sup> خانگی (با توان ۱/۱ kW و فرکانس ۲۴۸۰ MHz) به عنوان رآکتور احتراق استفاده شد. محصول نهایی جهت بررسی ریزاساختاری و فازی مورد آنالیز XRD، SEM و نیز TEM و نیز قرار گرفت.

## نتایج و بحث

شکل ۱ الگوهای پراش پرتو X (XRD) مخلوط‌های پودری آسیاب شده تا ۹ ساعت و نیز پودری که هیچ‌گونه عملیات آسیاب مکانیکی روی آن صورت نگرفته (اختلاط در محیط متابولیک به وسیله هیتر مگنت) را نشان می‌دهد. همان‌گونه که ملاحظه می‌شود، هیچ یک از فراورده‌های مورد نظر (یعنی TiB<sub>2</sub> و TiC یا MACS)، در طول فرآیند آسیاب پرانرژی چندان سنتز نشده و مواد اولیه بدون تغییر باقی مانده‌اند.

هرچند مقدار ناچیزی فاز TiB<sub>2</sub> (با توجه به پیک‌های

<sup>1</sup> - Process Control Agent

<sup>2</sup> - Glove Box

<sup>3</sup> - Microwave Oven

متخلخل و نسبتاً یکنواختی برخوردار است که در آن دانه‌ها از نظر اندازه و شکل ظاهری تشابه زیادی به یکدیگر دارند [۱۱]. در اینجا ذوب موضعی مرز دانه‌ها به خوبی دیده می‌شود. دانه‌های ریز و نسبتاً هم اندازه و هم ریخت پدیده ای است که در اینجا به روشی قابل تشخیص است.

شکل ۶ تصویر TEM مربوط به نمونه‌ای با ۹ ساعت آسیاب مکانیکی را که به عنوان بهترین نمونه سنتز شده در بین تمامی نمونه‌ها شناخته شد (با توجه به نتایج ناشی از XRD و SEM)، نشان می‌دهد.

همان‌گونه که مشاهده می‌شود، ذرات فازهای محصول شامل  $TiB_2$  و  $TiC$  دارای ابعاد و ریخت نسبتاً یکنواخت و مشابهی (حدود ۴۰ nm الی ۶۰ nm)، هستند. شکل ظاهری ذرات، عموماً کروی است که نشان از ذوب موضعی و سطحی دانه‌ها در محله ای اتصال با یکدیگر دارد. شکل‌های ۷ و ۸ به ترتیب تصاویر حاصل از TEM (شامل Bright Field و Dark Field) مربوط به نمونه‌هایی که به مدت ۶ و ۹ ساعت آسیاکاری شده و سپس مورد سنتز احتراقی ماکروویو قرار گرفته‌اند را نشان می‌دهند.

در این تصاویر ذرات نانومتری  $TiB_2$  در میان ضمینه  $TiC$  نشان دار و شناسایی شده اند (حضور این ذرات را می‌توان با مدد نظر قرار دادن تصویر در مدد زمینه تاریک (Dark field) تشخیص داد. چرا که اصولاً تصاویر Dark field می‌تواند مبنایی برای تفکیک فازی در سامانه‌های چندگانه باشد) [۱۰].

در شکل ۹، با توجه به تصویر الگوی پراش SEDP<sup>۱</sup> یا (Selected Area Diffraction Pattern) همان متناظر، صفحات (۱۰۰) و (۱۰۱) مربوط به فاز  $TiB_2$  و صفحات (۱۱۱)، (۲۰۰) و (۲۲۰) مربوط به  $TiC$  (با استفاده از محاسبات مربوطه) برای نمونه سنتزی ۹ ساعت آسیاب شده، شناسایی شدند. پدیده دیگری که از افزایش زمان آسیاکاری مخلوط پودری آن هم در حین انجام عملی آزمایش مشاهده شد، کاهش مدت زمان لازم جهت تکمیل واکنش احتراقی در درون دستگاه ماکروویو بود. به

می‌کند [۱۳].

شکل‌گیری نانوکامپوزیت  $TiB_2-TiC$  از واکنشی که در محل اتصال ذرات Ti و  $B_4C$  اتفاق می‌افتد، حاصل می‌شود [۱۴]. شکل ۳ به گونه شماتیک مراحل تشکیل ساختار را نشان می‌دهد.

همان‌گونه که در این شکل نیز دیده می‌شود، در مرحله نخست، ابتدا مذاب (ذوب موضعی) تیتانیوم اطراف ذرات  $B_4C$  را پوشانده و آن‌ها را در بر می‌گیرد. در ادامه از راه مکانیزم تشکیل (GDR) یا همان (Diffusion Reaction)، لایه نازکی از  $TiB-TiC$  بین دو محدوده  $Ti$  و  $B_4C$  تشکیل می‌شود. به مرور این لایه در اثر نفوذ تدریجی B و C در مذاب Ti، این لایه رشد می‌کند و با ادامه مکانیزم واکنش نفوذ تدریجی (GDR) در درون این لایه  $TiB-TiC$  (با نفوذ هر چه بیشتر B در  $TiB-TiC$  نیز لایه میانی دیگری بین لایه بیرونی (TiB-TiC) و مرکزی ( $B_4C$ )، لایه‌ای با ترکیب  $TiB_2-TiC$  شکل می-گیرد. این پدیده ادامه می‌یابد تا این‌که ذره به گونه کامل به ترکیبی با ریز ساختار نانوکامپوزیتی  $TiB_2-TiC$  می‌رسد [۱۵].

بکی از ویژگی‌های مهم فرآیند SHS تولید هایی با ساختار متخلخل است [۱۶، ۱۷]. در این پژوهش نیز محصول نهایی از این قاعده مستثنی نبود و حاوی انبوهی از تخلخل‌های باز و بسته بود. در شکل ۴ که به کمک یک میکروسکوپ نوری گرفته شده، بخش‌های گوناگونی از ریز ساختار متخلخل نمونه‌ای که ۶ ساعت آسیاب مکانیکی شده و سپس مورد سنتز ماکروویو قرار گرفته شده است را می‌توان مشاهده کرد.

قطر برشی از این حفرات گاهی به  $300\text{ }\mu\text{m}$  نیز می‌رسد. این خلل و فرج بیشتر به دلیل خروج گاز‌های ناشی از تبخیر ناخالصی‌ها و فازهای میانی در حین فرآیند سنتز احتراقی از نمونه بوجود می‌آیند [۱۸، ۱۹]. شکل ۵ تصاویر SEM از سطح شکست نمونه‌هایی را که ۳، ۶ و ۹ ساعت پیش فعال شده و سپس در راکتور احتراقی سنتز شده اند را در دو بزرگنمایی گوناگون نشان می‌دهد.

همان‌گونه که در شکل ۵ دیده می‌شود، در مقایسه با دو نمونه نخست (نمونه‌های ۳ و ۶ ساعت آسیاب شده (b.a)، نمونه ۹ ساعت آسیاب شده (c)، از ریزساختار

<sup>۱</sup>-Second Electron Defraction Pattern

قرص‌هایی تهیه و به کمک دستگاه ماکروویو سنتز شد. نتایج ناشی از آنالیزهای XRD و SEM نشان داد که با افزایش زمان آسیاکاری مخلوط اولیه، تا ۹ ساعت، سنتز فازهای مورد نظر ( $TiC$  و  $TiB_2$ ) با موفقیت بیشتری همراه شده و میزان فراورده‌های جاتبی و ترکیبات میانی در محصول نهایی به کمترین مقدار خود رسیده است. این امر با تصویر میکروسکوپ الکترونی عبوری نیز تأیید شد. همچنین، با افزایش زمان آسیاب مخلوط پودری از ۱ ساعت به ۹ ساعت، مدت زمان لازم جهت سنتز نمونه از ۳ دقیقه به زیر ۳۵ ثانیه کاهش یافت.

### References

- 1- C. Suryanarayana, "Mechanical Alloying and Milling", *Prog. Mater Sci.*, vol. 46, pp. 1–184, 2001.
- 2-A. W. Weimer, "Carbide Nitride and Boride Materials Synthesis and Processing", London: Chapman and Hall, pp. 79–113, 1997.
- 3- J. L. Murray, P. Liao, L. E. Spear, "The Ti–B (titanium–boron) System", *Bull. Alloy Phase Diagrams*, vol. 7, pp. 550–555, 1986.
- 4- G. Wen, B. Li, B. S. Zhang, and Z. X. Guo, "Reaction Synthesis of  $TiB_2$ –TiC Composites with Enhanced Toughness", *Acta Mater.*, vol. 49, pp. 1463, 2001.
- 5- H. Goldschmidt, German patent, No. 96317, 1895.
- 6- L. Contreras, X. Turrillas, G. B. M. Vaughan, A. Kvick, and M. A. Rodriguez, "Time-Resolved XRD Study of TiC– $TiB_2$  Composites Obtained by SHS", *Acta Materialia*, vol. 52, pp. 4783–4790, 2004.
- 7- R. Taherzadeh Mousavian, S. Sharafi, M. H. Shariat, "Microwave-Assisted Combustion Synthesis in a Mechanically Activated  $Al$ - $TiO_2$ - $H_3BO_3$  System", *Int. Journal of Refractory Metals and Hard Materials*, vol. 29, pp. 281–288, 2011.
- 8- D. E. Clark, I. Ahmad, and R. C. Dalton, "Microwave Ignition and Combustion Synthesis of Composites", *Mater. Sci. Eng. A.*, vol. 144, pp. 91–97, 1991.

گونه‌ای که با افزایش زمان آسیاکاری مخلوط پودری از ۱ ساعت به ۹ ساعت، مدت زمان لازم جهت سنتز نمونه از ۳ دقیقه به زیر ۳۵ ثانیه کاهش یافت.

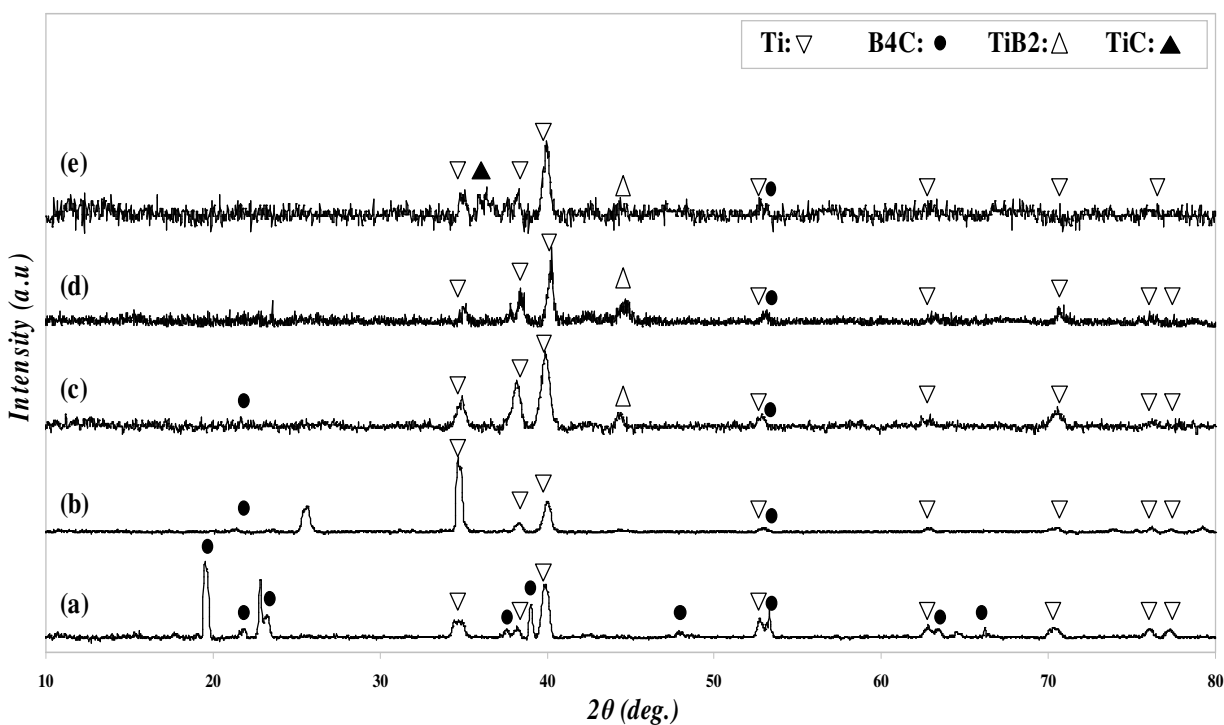
### نتیجه‌گیری

پودر  $TiB_2$ – $TiC$  نانوکریستالی به روش سنتز احتراقی Microwave-Assisted (MACS) سنتز شد. مخلوط پودری اولیه شامل  $3Ti + B_4C$  به کمک آسیاب سیارهای تا ۹ ساعت آسیاب شد. در ادامه از پودرهای بدست آمده از زمان‌های گوناگون آسیاکاری، جهت انجام واکنش سلورک‌های  $YBa_2Cu_3O_{7-\delta}$  به روش مکانوشیمیایی و بررسی دمای گذار ترکیبات  $(1-x)YBa_2Cu_3O_{7-\delta}$  ایران، شماره ۲، ص ۲۱۹–۲۲۶، ۱۳۹۰.

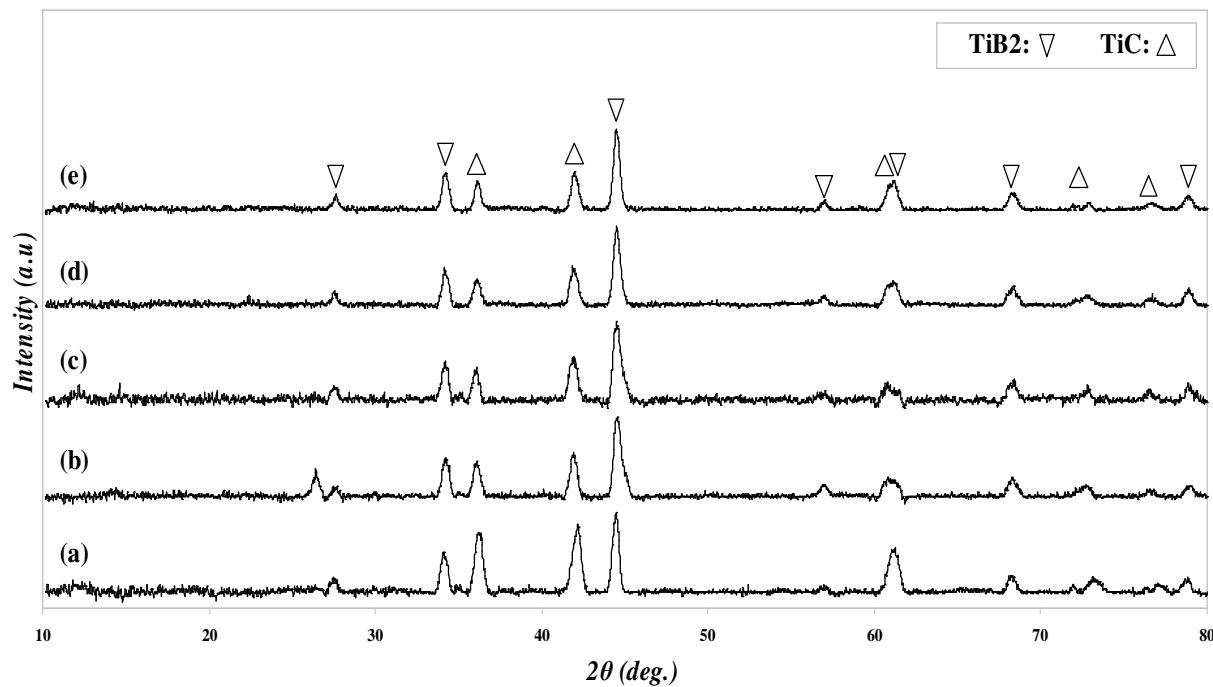
- 10- B. D. Cullity, "Elements of X-Ray Diffraction", Second Edit, Addison-Wesley Publishing, 1977.
- 11- J. W. Kim, S. H. Lee, K. H. Oh, J. H. Shim, and Y. W. Cho, "Mechanochemical Synthesis of  $TiN/TiB_2$ /Ti-silicide Nano Composite Powders and Their Thermal Stability", *Intermetallics*, vol. 15, pp. 206–210, 2007.
- 12- J. W. Lee, Z. A. Munir, and M. Ohyanagi, "Dense Nano Crystalline  $TiB_2$ –TiC Composites Formed by Field Activation from High-Energy Ball Milled Reactants", *Mater. Sci. Eng. A*, vol. 325, pp. 221–227, 2002.
- 13- ر. طاهرزاده موسویان، م. ر. روشن، ش. شرفی، م. ح. شریعت، "ساخت کامپوزیت سرامیکی  $Al_2O_3$ - $TiB_2$  با مقدار تخلخل و اعوجاج پایین به روش سنتز احتراقی و بدون اعمال فشار"، *مجله مواد نوین*، جلد ۳، شماره ۲، ص ۱۲۱، ۱۳۹۱.
- 14- L. Klinger, I. Gotman, and D. Horvitz, "In Situ Processing of  $TiB_2$ / $TiC$  Ceramic Composites by Thermal Explosion Under Pressure: Experimental Study and Modeling", *Mater. Sci. Eng. A*, vol. 302, pp. 92–99 2001.

- 15- I. Gotman, N. A. Travitzky, and E. Y. Gutmanas, "Dense in Situ  $TiB_2$ -TiN and  $TiB_2$  - $TiC$  Ceramic Matrix Composites: Reactive Synthesis and Properties", Mater. Sci. Eng. A, vol. 244, pp. 127–137, 1998.
- 16- Z. A. Munir, and U. Anselmi,"Self-Propagating Exothermic Reactions: the Synthesis of High Temperature Materials by Combustion", Mater. Sci. Rep., vol. 3, pp. 277–365, 1989.
- 17- S. Kumar, "Self-Propagating High Temperature Synthesis of Ceramic Materials", Ph.D. Dissertation, University of New York, Buffalo, NY, 1988.
- 18- J. Moore, and H. J. Feng, "Combustion Synthesis of Advanced Material, Part I. Reaction parameters", Progress in Matererids Science, vol. 39, pp. 237-248, 1995.
- 19- J. B. Holt, "Self Propagating High Temperature Synthesis", University of California, Lawrence Livermore National Laboratory.
- 20- D. Vallauri, I. C. A. Adrian, and A. Chrysanthou, "TiC- $TiB_2$  Composites: A Review of Phase Relationships, Processing and Properties", J. Eur. Ceram. Soc., vol. 28, pp. 1697–1713, 2008.
- 21- J. Li, F. Li, K. Hu, and Y. Zhou, " $TiB_2$ / $TiC$  Nano Composite Powder Fabricated Via High Energy Ball Milling", J. Eur. Ceram. Soc,vol. 21, pp. 2829–2833, 2001.

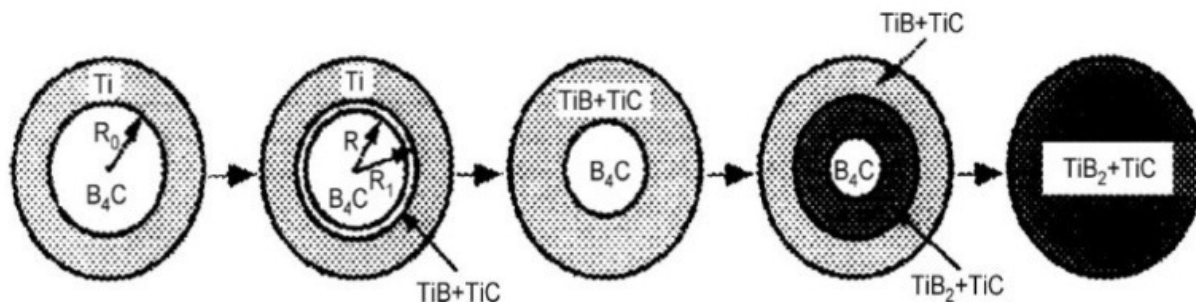
### پیوست‌ها



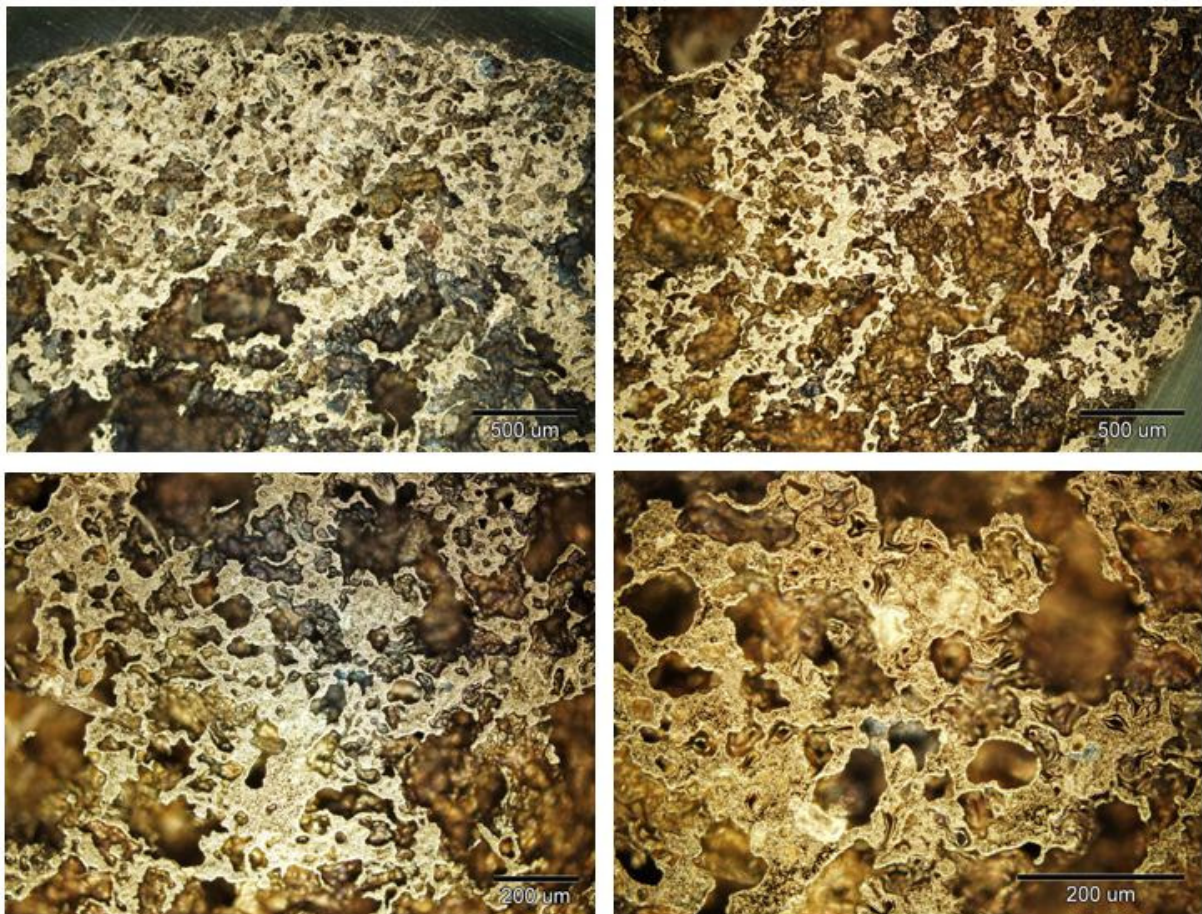
شکل ۱- الگوهای XRD پودرهای: (a) آسیاب نشده (As received) و (b، c، d، e) ۹ ساعت آسیاب شده



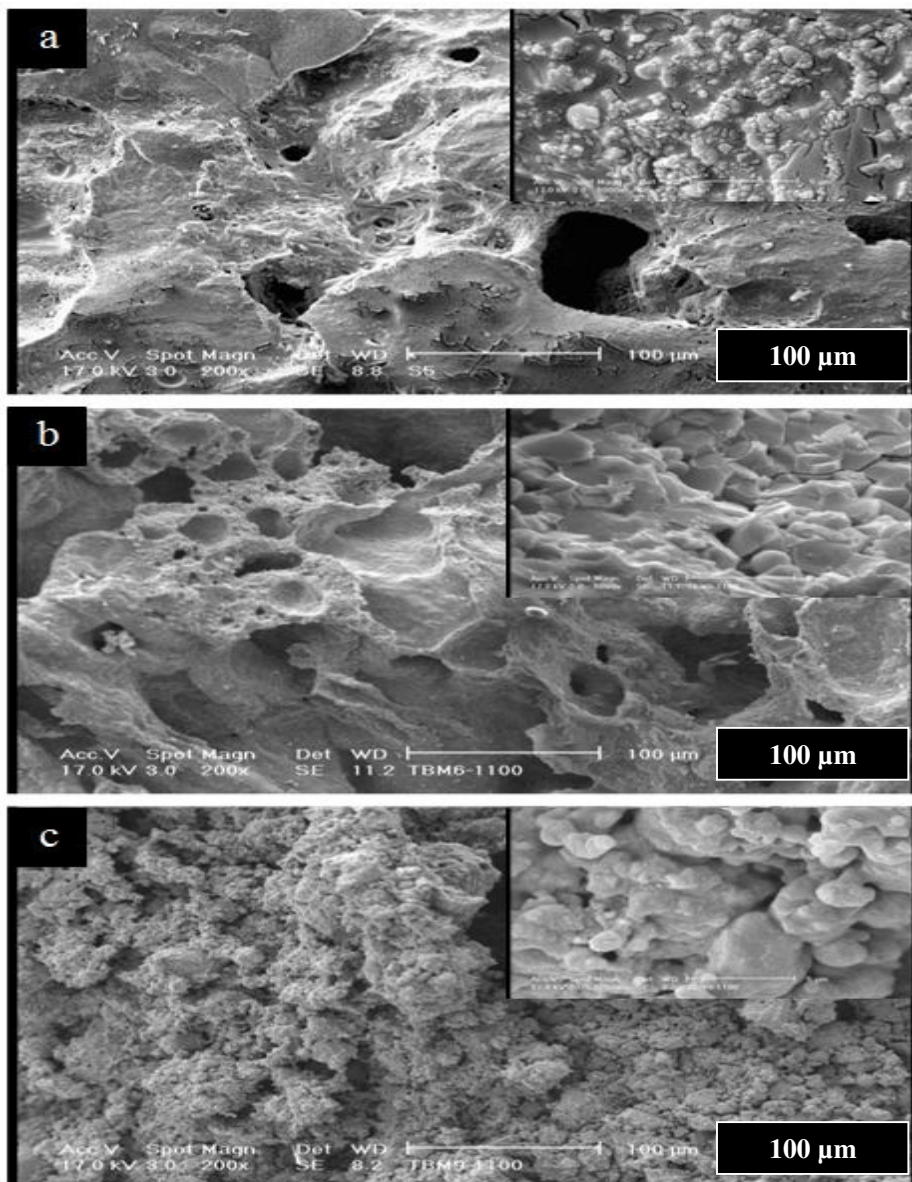
شکل ۲- الگوهای XRD پودرهای: (a) آسیاب نشده (As received) (b، c، d، e) ۶ ساعت آسیاب شده و سپس سنتز شده در ماکرووبو



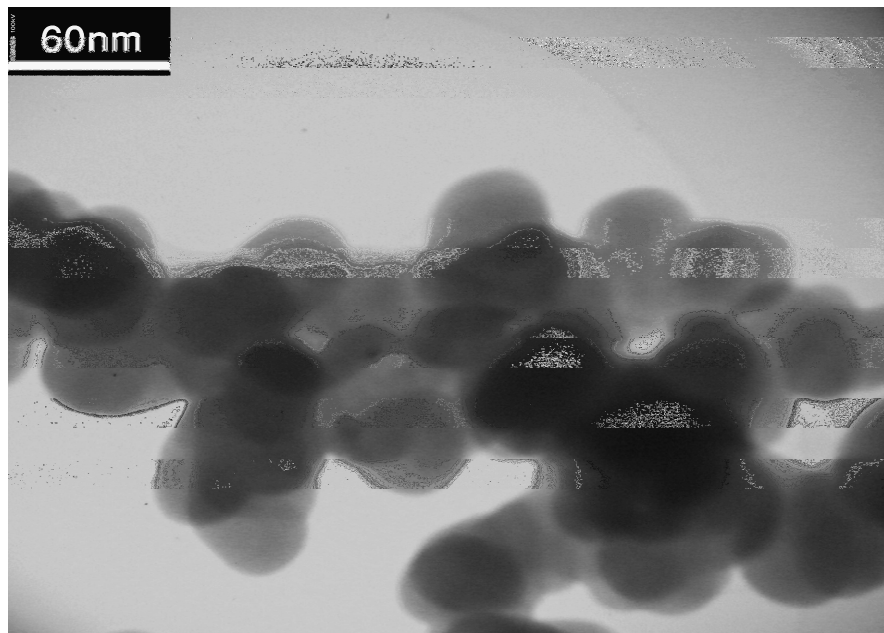
شکل ۳- طرح شماتیک مدل هندسی و توالی تشکیل فراورده های واکنش در مخلوط  $(3Ti+B_4C)$ . [۱۴]



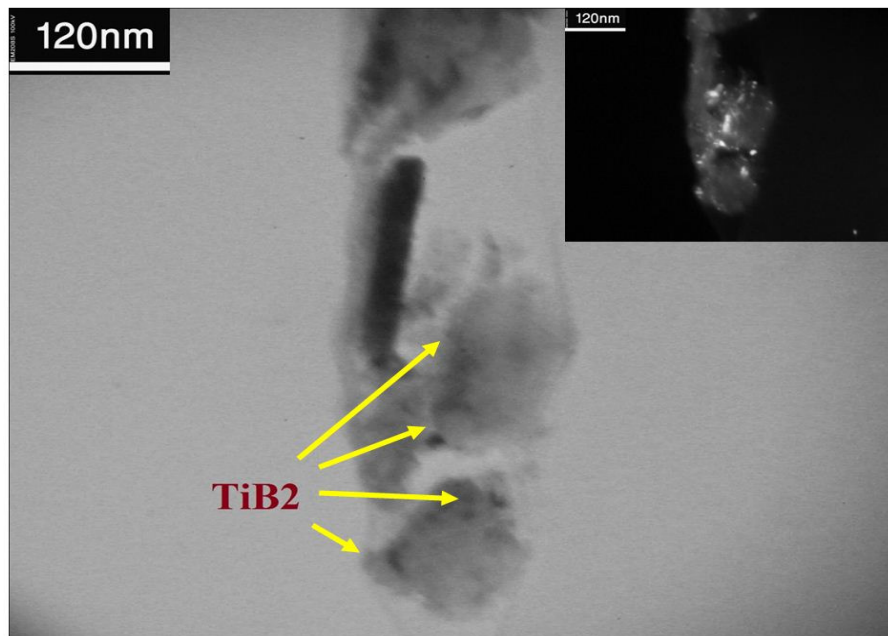
شکل ۴- تصویری از ریزساختار متخلخل نمونه سنتز شده در رآکتور ماکروویو با ۶ ساعت عملیات پیش آسیاب



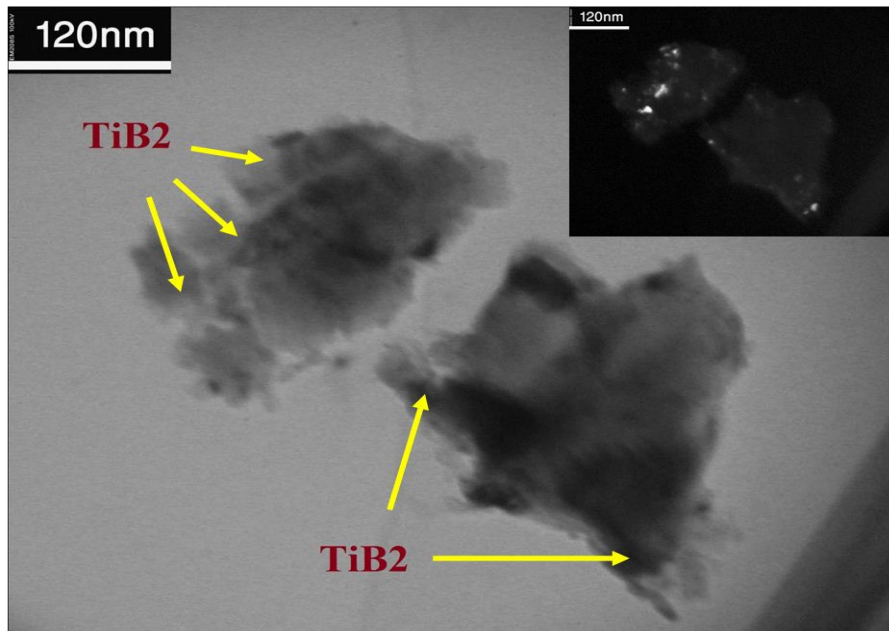
شکل ۵- تصاویر SEM از سطح شکست نمونه هایی با: (a) ۳، (b) ۶ و (c) ۹ ساعت آسیاب مکانیکی و سنتز شده در دستگاه ماکروویو در دو بزرگنمایی گوناگون



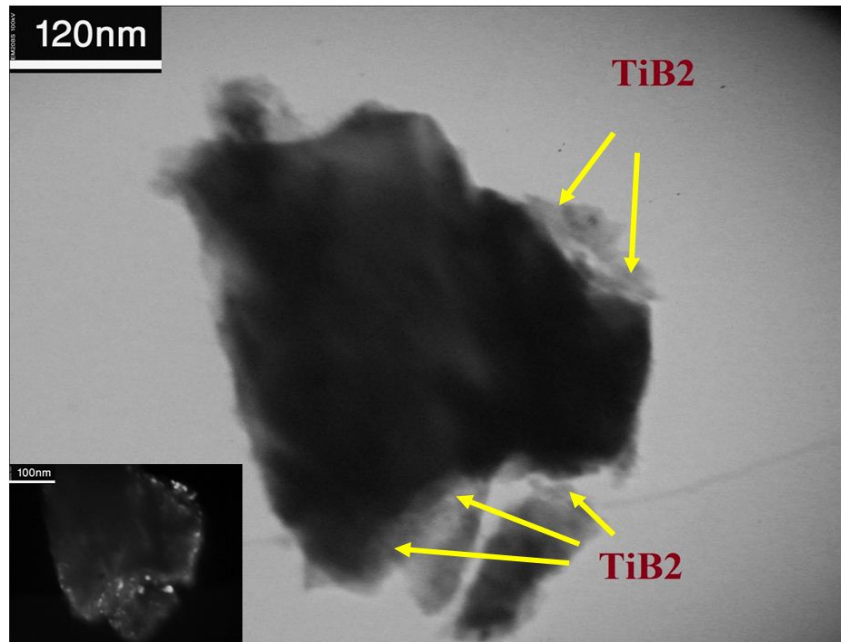
شکل ۶ - تصویر Bright Field TEM (نمونه سنتزی با ۹ ساعت آسیاب



شکل ۷ - تصویر TEM شامل (Bright Field و Dark Field) مربوط به نمونه سنتز شده در رآکتور ماکرووبو با ۶ ساعت عملیات آسیاب



شکل ۸ - تصویر TEM (شامل (Bright Field) و (Dark Field) مربوط به نمونه سنتز شده در رآکتور ماکرووبو با ۹ ساعت عملیات آسیاب



شکل ۹ - تصویر TEM نمونه سنتزی ۹ ساعت آسیاب شده به همراه الگوی پراش (SADP) متناظر ش

